

بِسْمِ اللّٰهِ الرَّحْمٰنِ الرَّحِيْمِ



دانشگاه بیرجند

دانشکده مهندسی

پایان نامه دوره کارشناسی ارشد مهندسی مکانیک - گرایش تبدیل انرژی

مدل سازی و بهینه سازی دوفاز و غیر همدمای پیل سوختی

پلیمری

سید هادی گل کار

استاد راهنما:

دکتر حسن حسن زاده

استاد مشاور:

دکتر علی صفوی نژاد

«بهار ۱۳۹۳»

تاییدیه هیات داوران

(مختص پایان نامه های تحصیلات تکمیلی)

تقدیم به:

تّقدیم باوسه برستان پدرم:

با او که نی دام از بزرگی اش بکویم یا مرد انگلی، سخاوت، سکوت، صربانی و...

پدرم راه تمام زندگیست

پدرم دخوشی همگلیست.

تّقدیم به مادر عزیزتر از جانم:

مادر، هستی من ز هستی توست تا هستم و هستی دارمت دوست

علمکار حاویانی مادر است

چشمکار صربانی مادر است.

تّقدیم به خواهرم:

که وجودش شادی بخش و صفاش بای آرامش من است.

و تّقدیم به تامی جویندگان دانش و معرفت.

تشکر و قدردانی

بر حسب و نظیفه و ادب لازم می دانم که:

از پروردگار عزیزم... این دو معلم بزرگوارم... که همواره بر کوتاهی و درستی من، قلم عفو کشیده و کریمانه از کنار غفلت هایم گذشتند و در تمام

عرصه های زندگی یار و یاوری بی چشم داشت برای من بوده اند؛

از استاد شایسته و دلوز؛ جناب آقای دکتر حسن حسن زاده و جناب آقای دکتر علی صفوی نژاد که دکمال سمه صدر، با حسن خلق و فروتنی،

پنج کلی را در این عرصه بر من دینه ننمودند و زحمت راهنمایی و مشاوره این رساله را برعهده گرفتند؛

از استاد فرزانه و دلوز؛ جناب آقای دکتر سید مجید ملک جعفریان و جناب آقای دکتر سید علیرضا ذوالقدری که زحمت داوری این رساله

را مقتبل شدند؛

و بهمنین از دوستان عزیزم حسین شریعتی ایوری، محمد باروئی اردستانی، مهدی عباس زاده و تامی دانشجویان ورودی ۹۰ دکمال مشکر و قدردانی

را دارم.

باشد که بخشنی از زحمات ایشان را پاس کفته باشم.

چکیده

در پایان نامه حاضر، جریان دوفازی، غیر هم‌دما و غیر هم‌فشار در پیل سوختی پلیمری مدل‌سازی شده است. معادلات حاکم شامل معادلات بقاء جرم، بقاء مومنتوم و بقاء انرژی در اجزای مختلف پیل سوختی است که توسط روش تفاضل محدود حل شده‌اند. جهت بررسی صحت مدل‌سازی، منحنی عملکرد پیل سوختی با نتایج تجربی و منحنی توزیع دما با نتایج موجود در مقالات مقایسه شده است که از دقت قابل قبولی برخوردارند.

نتایج مدل‌سازی نشان داد که افزایش فشار مخلوط گاز در کانال کاتد، باعث مرطوب شدن بیشتر غشاء و کاهش افت اهمی می‌شود. علاوه بر این، فشار جزئی اکسیژن در لایه کاتالیست کاتد بیشتر شده و عملکرد پیل سوختی ارتقاء می‌یابد. بر خلاف کاتد، افزایش فشار آند، افت اهمی در غشاء را افزایش داده و باعث کاهش ولتاژ خروجی از پیل سوختی می‌شود. منحنی توزیع دما در طول پیل سوختی نشان داد که بیشترین دما در غشاء و در سمت کاتالیست کاتد است که محل وقوع واکنش الکتروشیمیایی است. با افزایش فشار گاز در کانال کاتد، اختلاف دمای کانال با دمای بیشینه، کمتر می‌شود. اثر افزایش فشار گاز در کانال آند روی توزیع دما، بر خلاف کاتد است و با افزایش فشار آند دما در پیل سوختی افزایش می‌یابد.

همچنین، مقادیر بهینه ضریب تخلخل الکترودها، ضخامت لایه‌های نفوذی گاز و رطوبت نسبی ورودی به کاتد با استفاده از الگوریتم‌های فرا ابتکاری بهینه‌سازی (زنتیک، آنیل شبیه‌سازی شده و جستجوی الگویی) محاسبه شده است. بهینه‌سازی با در نظر گرفتن چگالی قدرت پیل سوختی به عنوان تابع هدف انجام شده است. در تحقیق حاضر، الگوریتم آنیل شبیه‌سازی شده به عنوان بهترین روش بهینه‌سازی پارامترهای جریان دوفازی شناخته شده است. مقدار بهینه ضریب تخلخل الکترودها $0.44/0.24$ ، ضخامت لایه‌های نفوذی گاز 0.099 میلی متر و رطوبت نسبی 6 درصد محاسبه شده است. در چگالی جریان ثابت (1 آمپر بر سانتی متر مربع)، چگالی قدرت پیل سوختی در حالت بهینه، 6 درصد نسبت به حالت پایه افزایش داشته است.

واژه‌های کلیدی: پیل سوختی، جریان دوفازی، بهینه‌سازی، غیر هم‌دما.

فهرست مطالب

(الف)	فهرست مطالب
(د)	فهرست علائم و نشانه‌ها
(و)	فهرست جدول‌ها
(ح)	فهرست شکل‌ها
۱	۱ فصل اول: مقدمه و معرفی پیل سوختی
۱	۱-۱ مقدمه
۲	۲-۱ پیل سوختی و کاربردها
۳	۳-۱ ساختار پیل سوختی
۶	۴-۱ مزایا و معایب پیل سوختی
۶	۴-۱-۱ مزایای پیل سوختی
۸	۴-۱-۲ معایب پیل سوختی
۹	۵-۱ انواع پیل سوختی
۱۰	۱-۵-۱ پیل سوختی پلیمری
۱۲	۶-۱ جایگاه تکنولوژی پیل‌های سوختی در جهان
۱۴	۷-۱ ترمودینامیک پیل سوختی
۱۵	۱-۷-۱ ولتاژ برگشت‌پذیر
۱۵	۲-۷-۱ رابطه نرنست
۱۶	۳-۷-۱ افت‌های سه‌گانه
۱۸	۲ فصل دوم: مروری بر کارهای گذشته
۲۰	۱-۲ تحقیقات مربوط به مدل‌سازی پیل‌های سوختی پلیمری
۲۰	۱-۱-۲ مدل‌سازی‌های تک‌فاز و هم‌دما
۲۳	۲-۱-۲ مدل‌سازی‌های دوفاز و هم‌دما

۲۶	مدل‌سازی‌های تک‌فاز و غیر هم‌دما	.۳-۱-۲
۲۸	مدل‌سازی‌های دوفاز و غیر هم‌دما	.۴-۱-۲
۳۲	ضرورت مدل‌سازی غیر هم‌فشار	.۵-۱-۲
۳۲	مدل‌سازی‌های غیر هم‌فشار	.۶-۱-۲
۳۵	تحقیقات مربوط به بهینه‌سازی پیل‌های سوختی پلیمری	.۲-۲
۴۲	جمع‌بندی تحقیقات و ضرورت تحقیق کنونی	.۳-۲
۴۶	فصل سوم: مدل‌سازی ریاضی	۳
۴۶	مدل‌سازی جریان در لایه نفوذی گاز کاتد	.۱-۳
۴۸	معادلات بقای جرم	.۱-۱-۳
۵۰	معادلات بقای مومنتم	.۲-۱-۳
۵۴	معادله بقای انرژی	.۳-۱-۳
۵۶	مدل‌سازی لایه کاتالیست	.۲-۳
۵۷	مدل‌سازی غشاء پلیمری	.۳-۳
۵۷	معادلات مربوط به جریان آب در غشاء	.۱-۳-۳
۶۰	معادله انرژی	.۲-۳-۳
۶۱	مدل‌سازی لایه نفوذی گاز	.۴-۳
۶۲	معادلات بقای جرم	.۱-۴-۳
۶۲	معادلات بقای مومنتم	.۲-۴-۳
۶۲	معادله بقای انرژی	.۳-۴-۳
۶۳	محاسبه افت‌های سه‌گانه	.۵-۳
۶۳	دامنه حل و شرایط مرزی	.۶-۳
۶۶	فصل چهارم: روش حل و اعتبارسنجی	۴
۶۶	بازآرایی معادلات	.۱-۴
۷۰	روش حل و اعتبارسنجی	.۲-۴
۷۳	شبکه‌بندی و استقلال حل از شبکه	.۳-۴

۷۳	روش بهینه‌سازی .۴-۴
۷۴	۱-۴-۴. جعبه ابزار بهینه‌سازی متلب
۷۴	.۲-۴-۴. الگوریتم ژنتیک
۷۵	.۳-۴-۴. الگوریتم آنیل شبیه‌سازی شده
۷۶	.۴-۴-۴. الگوریتم جستجوی الگویی
۷۷	.۵-۴-۴. تابع هدف و متغیرهای بهینه‌سازی
۸۰	۵ فصل پنجم: نتایج مدل‌سازی
۸۱	.۱-۵. مقایسه نتایج مدل‌سازی تک‌فاز و دوفاز
۸۸	.۲-۵. نتایج مدل‌سازی غیر هم‌فشار
۹۹	۶ فصل ششم: نتایج بهینه‌سازی
۹۹	.۱-۶. نتایج بهینه‌سازی
۱۰۹	۷ فصل هفتم: جمع‌بندی و نتیجه‌گیری
۱۰۹	.۱-۷. جمع‌بندی نتایج
۱۱۰	.۲-۷. محدودیتها و پیشنهادات
۱۱۲	مراجع
۱۱۵	پیوست (الف). فلوچارت حل عددی α
۱۱۶	پیوست (ب). فلوچارت حل عددی جریان در پیل سوختی
۱۱۷	پیوست (ج). الگوریتم آنیل شبیه‌سازی شده
۱۱۸	پیوست (د). الگوریتم ژنتیک

فهرست علائم و نشانه‌ها

عنوان	علامت اختصاری
سطح موثر واکنش به ازای واحد سطح لایه کاتالیست (m^2/m^2)	A_s
سطح موثر واکنش به ازای واحد حجم لایه کاتالیست (m^2/m^3)	A_v
نفوذپذیری موثر	D_t^{eff}
نفوذ پذیری	D^i
ضریب نفوذ آب در غشاء	D_λ
عدد اکی والان غشا	EW
عدد فارادی ($Cmol^{-1}$)	F
چگالی جریان ($A\dot{m}^{-2}$)	j
هدایت حرارتی لایه نفوذ گاز	K
نفوذپذیری مطلق (m^2)	k_{abs}
ضریب میزان (s^{-1})	k_{cond}
ضریب هدایت حرارتی غشاء	K_{eff}
نفوذپذیری هیدرولیکی غشاء (m^2)	K_m
ضریب تبخیر ($N^{-1}m^2s^{-1}$)	k_{vap}
نرخ تبادل جرم میان فازها به ازای واحد حجم ($kgm^{-3}s$)	\dot{m}_{H_2O}''
جرم مولکولی گونه ۱	M_i
ضریب کشن الکترواسموتیک	n_d
فشار موبینگی (pa)	P_C
فشار در حالت گاز (pa)	P_g
فشار در حالت مایع (pa)	P_l
ثابت جهانی گازها ($Jmol^{-1}K^{-1}$)	R

R_{ohmic}	مقاومت اهمی غشاء (Ωm^2)
S	اشباع (بی بعد)
T	(K) دما
u_L	سرعت ظاهری فاز مایع ($m s^{-1}$)
x_i	کسر مولی گونه i
y_i	کسر جرمی گونه i
علائم یونانی	
علامت اختصاری	عنوان
a	ضریب انتقال آب در غشاء
β	درصد آب وارد شده به لایه نفوذ گاز به صورت بخار
θ_C	زاویه تماس
λ	محتوی آب در غشاء
μ_g	لزجت گاز ($kg m^{-1} s^{-1}$)
μ_l	لزجت مایع ($kg m^{-1} s^{-1}$)
ρ_{dry}	چگالی غشای خشک ($kg m^{-3}$)
ρ_{mix}	چگالی مخلوط گاز ($kg m^{-3}$)
ρ_l	چگالی در حالت مایع ($kg m^{-3}$)
σ	قابلیت هدایت یونی (sm^{-1})

فهرست جدول‌ها

۸	مقایسه پیل‌های سوختی با سایر مبدل‌ها	جدول(۱-۱)
۱۶	فعالیت جامدات، مایعات و گازهای ایده‌آل	جدول(۱-۲)
۱۹	مثال‌هایی از دسته‌بندی مدل‌سازی‌های صورت گرفته در مورد پیل سوختی	جدول(۱-۲)
۲۱	تحقیق اسپرینگر و همکاران	جدول(۲-۱)
۲۲	تحقیق برناردی و همکاران	جدول(۳-۱)
۲۳	تحقیق بسچاک و لی	جدول(۴-۱)
۲۴	تحقیق پاساکولاری و وانگ	جدول(۵-۱)
۲۵	تحقیق فردوس آرا	جدول(۶-۱)
۲۶	تحقیق آلوارادو و همکاران	جدول(۷-۱)
۲۷	تحقیق جو و همکاران	جدول(۸-۱)
۲۸	تحقیق افشاری و جزایری	جدول(۹-۱)
۲۹	تحقیق راو و لی	جدول(۱۰-۱)
۳۰	تحقیق سانگ و همکاران	جدول(۱۱-۱)
۳۱	تحقیق بروزگری	جدول(۱۲-۱)
۳۳	تحقیق نجیب جلیلی و لو	جدول(۱۳-۱)
۳۴	تحقیق هو و همکاران	جدول(۱۴-۱)
۳۵	تحقیق یو و لیو	جدول(۱۵-۱)
۳۷	تحقیق سوسای و همکاران	جدول(۱۶-۱)
۳۸	تحقیق گروجیکیچ و همکاران	جدول(۱۷-۱)
۳۹	تحقیق گروجیکیچ و چیتاجالو	جدول(۱۸-۱)
۴۰	تحقیق میشرا و همکاران	جدول(۱۹-۱)
۴۱	تحقیق داس و همکاران	جدول(۲۰-۱)
۴۲	تحقیق دوکار و همکاران	جدول(۲۱-۱)

۷۰	مقادیر پایه	جدول (۱-۴)
۷۲	مقایسه خطای حل عددی در مدل حاضر با سایر مراجع	جدول (۲-۴)
۷۹	حد بالا و پایین متغیرهای بهینه‌سازی	جدول (۳-۴)
۹۹	مشخصات الگوریتم زنتیک	جدول (۱-۶)
۱۰۰	مشخصات الگوریتم آنیل شبیه‌سازی شده	جدول (۲-۶)
۱۰۰	مشخصات الگوریتم جستجوی الگویی	جدول (۳-۶)
۱۰۰	مشخصات روش گرادیانی افمین کان	جدول (۴-۶)
۱۰۰	حدس اولیه پارامترهای بهینه‌سازی	جدول (۵-۶)
۱۰۱	مقایسه نتایج حاصل از الگوریتم‌های مختلف	جدول (۶-۶)
۱۰۲	مقایسه تعداد تکرار و زمان اجرای الگوریتم‌های مختلف	جدول (۷-۶)

فهرست شکل‌ها

۳	شماتیکی از اجزای پیل سوختی.	شکل(۱-۱)
۵	لایه نفوذی گاز کاغذ کربنی (سمت راست) - پارچه کربنی (سمت چپ).	شکل(۲-۱)
۶	ساختار مولکولی متخلخل لایه کاتالیست.	شکل(۳-۱)
۶	تأثیر کاتالیزور در کاهش انرژی فعال سازی.	شکل(۴-۱)
۷	مقایسه موتورهای گرمایی و پیل سوختی.	شکل(۵-۱)
۱۰	شماتیکی از پیل‌های سوختی.	شکل(۶-۱)
۱۱	ساختمان و طریقه کار پیل سوختی غشاء پلیمری.	شکل(۷-۱)
۱۷	منحنی پلاریزاسیون پیل سوختی.	شکل(۸-۱)
۴۷	نمای سه بعدی یک محیط متخلخل.	شکل(۱-۳)
۵۲	نمودار کشش سطحی بر حسب دما.	شکل(۲-۳)
۵۳	نمودار تابع (d) برای دو حالت آب دوست و آب گریز.	شکل(۳-۳)
۵۴	نمودار فشار مویینگی بر حسب مقدار اشباع به ازای زوایای تماس گوناگون.	شکل(۴-۳)
۵۴	نمودار فشار مویینگی بر حسب مقدار اشباع به ازای ضریب تخلخل‌های گوناگون.	شکل(۵-۳)
۵۵	حجم کنترل در لایه نفوذی گاز کاتد.	شکل(۶-۳)
۵۸	شماتیکی از جریان آب در غشاء پلیمری.	شکل(۷-۳)
۶۱	حجم کنترل در غشاء.	شکل(۸-۳)
۶۴	تصویر شماتیکی از دامنه حل در تحقیق حاضر.	شکل(۹-۳)
۷۱	مقایسه منحنی عملکرد پیل سوختی در حالت هم‌فشار تحقیق حاضر با نتایج تجربی تیسیانلی و همکاران.	شکل(۱-۴)
۷۱	مقایسه منحنی عملکرد پیل سوختی در حالت غیر هم‌فشار تحقیق حاضر با نتایج تجربی تیسیانلی و همکاران.	شکل(۲-۴)
۷۲	مقایسه منحنی توزیع دمای پیل سوختی در حالت تک‌فاز و غیر هم‌فشار تحقیق حاضر با نتایج نجیب جلیلی و لو.	شکل(۳-۴)

۷۲	مقایسه منحنی توزیع دما در کاتد پیل سوختی در تحقیق حاضر با نتایج سانگ و همکاران.	شکل(۴-۴)
۷۳	نمودار توزیع اشباع در لایه نفوذی گاز کاتد به ازای تعداد گره‌های مختلف.	شکل(۵-۴)
۸۱	منحنی نرخ تبخیر آب در لایه نفوذی گاز کاتد در رطوبت نسبی‌های ورودی مختلف.	شکل(۱-۵)
۸۲	منحنی توزیع دما در سراسر پیل سوختی به ازای چگالی جریان‌های مختلف در دو حالت تک‌فاز و دوفاز در رطوبت نسبی ورودی به کاتد ۸۵ درصد.	شکل(۲-۵)
۸۳	منحنی تغییرات رطوبت نسبی در کاتد برای رطوبت نسبی گازهای ورودی به کاتد ۸۵ درصد.	شکل(۳-۵)
۸۳	منحنی تغییرات غلظت بخار آب در کاتد برای رطوبت نسبی گازهای ورودی به کاتد ۸۵ درصد.	شکل(۴-۵)
۸۴	منحنی تغییرات غلظت اکسیژن در کاتد برای رطوبت نسبی گازهای ورودی به کاتد ۸۵ درصد.	شکل(۵-۵)
۸۵	منحنی توزیع دما در سراسر پیل سوختی به ازای چگالی جریان‌های مختلف در دو حالت تک‌فاز و دوفاز در رطوبت نسبی ورودی به کاتد ۱۰۰ درصد.	شکل(۶-۵)
۸۵	منحنی تغییرات غلظت بخار آب در کاتد برای رطوبت نسبی گازهای ورودی به کاتد ۱۰۰ درصد.	شکل(۷-۵)
۸۶	منحنی تغییرات محتوای آب غشاء به ازای رطوبت نسبی‌های مختلف کانال کاتد در دو حالت تک‌فاز و دوفاز.	شکل(۸-۵)
۸۷	مقایسه منحنی عملکرد پیل سوختی در دو حالت تک‌فاز و دوفاز برای گازهای ورودی به کاتد با رطوبت نسبی ۸۵ درصد.	شکل(۹-۵)
۸۷	مقایسه منحنی عملکرد پیل سوختی در دو حالت تک‌فاز و دوفاز برای گازهای ورودی به کاتد با رطوبت نسبی ۱۰۰ درصد.	شکل(۱۰-۵)
۸۸	منحنی توزیع چگالی مخلوط گاز در لایه نفوذی گاز کاتد به ازای فشار گاز ورودی به کاتد متفاوت و در فشار آند ۱ اتمسفر.	شکل(۱۱-۵)
۸۹	منحنی توزیع غلظت اکسیژن در لایه نفوذی گاز کاتد به ازای فشار گاز ورودی به کاتد متفاوت و در فشار آند ۱ اتمسفر.	شکل(۱۲-۵)
۸۹	منحنی توزیع غلظت بخار آب در لایه نفوذی گاز کاتد به ازای فشار گاز ورودی به کاتد متفاوت و در فشار آند ۱ اتمسفر.	شکل(۱۳-۵)
۹۰	منحنی تغییرات رطوبت نسبی در لایه نفوذی گاز کاتد به ازای فشار گاز ورودی به کاتد متفاوت و در فشار آند ۱ اتمسفر.	شکل(۱۴-۵)
۹۱	منحنی تغییرات محتوای آب غشاء به ازای فشار گاز ورودی به کاتد متفاوت و در فشار آند ۱ اتمسفر.	شکل(۱۵-۵)
۹۲	منحنی تغییرات محتوای آب غشاء به ازای فشار گاز ورودی به آند متفاوت و در فشار کاتد ۱ اتمسفر.	شکل(۱۶-۵)
۹۲	منحنی تغییرات اشباع به ازای فشار گاز ورودی به کاتد متفاوت و در فشار آند ۱ اتمسفر.	شکل(۱۷-۵)
۹۳	منحنی توزیع دما در سراسر پیل سوختی به ازای فشار گاز ورودی به کاتد متفاوت و در فشار آند ۱ اتمسفر.	شکل(۱۸-۵)
۹۳	منحنی توزیع دما در سراسر پیل سوختی به ازای فشار گاز ورودی به آند متفاوت و در فشار کاتد ۱ اتمسفر.	شکل(۱۹-۵)

۹۴	منحنی افت اهمی به ازای فشار گاز ورودی به کاتد متفاوت و در فشار آند ۱ اتمسفر.	شکل(۲۰-۵)
۹۵	منحنی افت غلظتی به ازای فشار گاز ورودی به کاتد متفاوت و در فشار آند ۱ اتمسفر.	شکل(۲۱-۵)
۹۵	منحنی افت فعال سازی به ازای فشار گاز ورودی به کاتد متفاوت و در فشار آند ۱ اتمسفر.	شکل(۲۲-۵)
۹۶	منحنی عملکرد پیل سوختی به ازای فشارهای مختلف گازهای ورودی به کاتد و آند.	شکل(۲۳-۵)
۹۶	منحنی شار مولی آب در غشاء ناشی از سه عامل الکترواسموتیک، نفوذ معکوس و اختلاف فشار بین آند و کاتد در چگالی جریان (A/cm^2) ..۰/۴	شکل(۲۴-۵)
۹۷	منحنی شار مولی آب در غشاء ناشی از سه عامل الکترواسموتیک، نفوذ معکوس و اختلاف فشار بین آند و کاتد در چگالی جریان (A/cm^2) .۱/۶	شکل(۲۵-۵)
۱۰۳	منحنی افت‌های سه گانه بر حسب ضریب تخلخل الکترود کاتد و آند.	شکل(۱-۶)
۱۰۴	منحنی تغییرات ولتاژ خروجی از پیل سوختی بر حسب ضریب تخلخل الکترود کاتد و آند.	شکل(۲-۶)
۱۰۵	منحنی افت‌های سه گانه بر حسب ضخامت لایه نفوذی گاز.	شکل(۳-۶)
۱۰۵	منحنی تغییرات ولتاژ خروجی از پیل سوختی به ازای ضخامت لایه نفوذی گاز.	شکل(۴-۶)
۱۰۶	منحنی افت‌های سه گانه بر حسب رطوبت نسبی گازهای ورودی به کاتد.	شکل(۵-۶)
۱۰۷	منحنی تغییرات ولتاژ خروجی از پیل سوختی به ازای رطوبت نسبی گازهای ورودی به کاتد.	شکل(۶-۶)
۱۰۷	مقایسه منحنی عملکرد پیل سوختی در دو حالت پایه و بهینه.	شکل(۷-۶)
۱۰۸	مقایسه منحنی چگالی قدرت پیل سوختی در دو حالت پایه و بهینه.	شکل(۸-۶)

فصل اول

مقدمه و معرفی پیل سوختی

۱-۱. مقدمه

بحران انرژی و آلودگی‌های زیست محیطی ناشی از مصرف سوخت‌های فسیلی، خسارت جبران ناپذیری بر اکوسیستم جهان تحمیل نموده است. پاسخ به تقاضای فراینده انرژی و همچنین بازدهی کم تکنولوژی‌های متداول امروزی، مستلزم استفاده روز افزون منابع فسیلی انرژی و در نتیجه انتشار بیشتر آلاینده‌ها، اثرات گلخانه‌ای، باران‌های اسیدی و ... خواهد بود. به علاوه با توجه به روند رو به کاهش منابع طبیعی سوخت‌های فسیلی، افزایش قابل توجه قیمت آن‌ها در آینده قابل پیش‌بینی است. در همین راستا دیدگاه جدیدی برای استفاده از هیدروژن با توجه به خصوصیات منحصر به فرد آن ایجاد شده است. کاربرد هیدروژن به عنوان سوخت، موجب کاهش آلاینده‌های زیست محیطی و حذف اکسیدهای گوگرد و اکسیدهای کربن ناشی از احتراق سوخت‌های فسیلی می‌شود. این مسائل اهمیت بکارگیری تکنولوژی‌ها و منابع جدید، پاک، ارزان قیمت و تجدیدپذیر انرژی نظری هیدروژنی و فناوری پیل سوختی را بیش از پیش آشکار می‌کنند [۱].

پیل سوختی، فن‌آوری جدیدی برای تولید انرژی است که بدون ایجاد آلودگی‌های زیست محیطی و صوتی، انرژی شیمیایی واکنش یک سوخت (معمولًاً هیدروژن) با یک اکسیدکننده (معمولًاً اکسیژن از هوای محیط) را مستقیماً به انرژی الکتریکی تبدیل می‌کند.

تولید مستقیم الکتریسیته، جایگزینی برای چرخه کارنو جهت تبدیل انرژی شیمیایی حاصل از سوخت به انرژی گرمایی و مکانیکی و در نهایت الکتریسیته می‌باشد که اتلاف انرژی را به حداقل ممکن می‌رساند و بازده بالایی به دست می‌دهد.

۲-۱. پیل سوختی و کاربردها

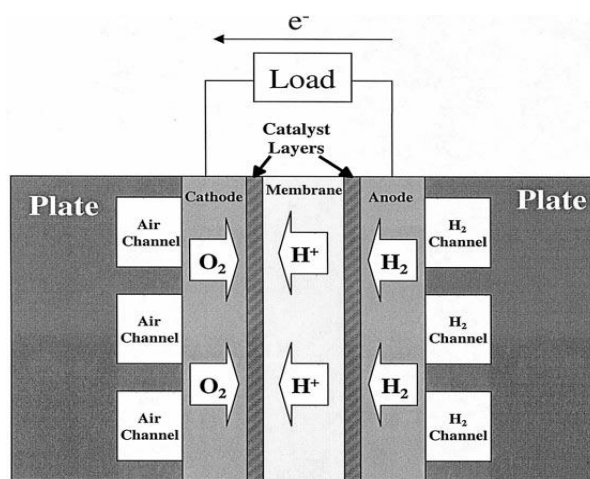
امروزه تقاضا برای انرژی پاک و تجدیدپذیر، فعالیتهای تحقیقاتی را برای یافتن مبدل‌های پاک و کارآمد شتاب داده است. پیل‌های سوختی ممکن است جوابی برای افزایش نیاز به این نوع مبدل‌های انرژی باشد [۲]. تکنولوژی تولید پیل سوختی در سال ۱۸۳۹ توسط دانشمند انگلیسی به نام گرو^۱ اختراع شده و حدود ۱۲۰ سال طول کشید تا کاربرد جدی پیدا کند، در حدود سال‌های ۱۹۶۰، به تدریج توجه به سمت این تکنولوژی جلب شد به طوری که در سال ۱۹۹۸ شیکاگو اولین شهر در جهان بود که در آن اولین اتوبوس پیل سوختی به کار گرفته شد. همواره کاربردهای فضایی از این تکنولوژی انگیزه مناسبی جهت رشد مطالعات و تحقیقات برای افزایش و بهبود بازده و عملکرد این فن‌آوری بوده است. پیل‌های سوختی در حال حاضر یکی از پربازده‌ترین ابزارهای تبدیل انرژی شیمیایی (پتانسیل اکسیداسیون) به انرژی الکتریکی هستند. تا زمانی که جریان سوخت و اکسیدکننده در دو سمت پیل برقرار است، تولید حرارت و انرژی الکتریکی نیز به طور پایدار ادامه می‌یابد. با حذف مرحله تبدیل انرژی شیمیایی به حرارتی که در موتورهای حرارتی متدائل وجود دارد، پیل‌های سوختی در دسته ماشین‌های حرارتی قرار نگرفته و بازده آن‌ها به سیکل ایده‌آل کارنو محدود نمی‌شود و به طور تئوریک قابلیت رسیدن به بازدهی ۸۰ درصد نیز برای آن‌ها قابل تصور است. امروزه اغلب کارخانه‌های خودروسازی در دنیا مشغول توسعه خودروهای پیل سوختی هستند. علاوه بر کاربردهای حمل و نقل، استفاده از این نوع پیل‌ها در وسایل قابل حمل نظیر کامپیوترهای لپ‌تاپ،

¹William Grove

تلفن‌های همراه و به خصوص سیستم‌های برق اضطراری^۱ نیز به سرعت در حال افزایش است [۳] و برای این که کاربرد آن‌ها به صورت تجاری درآید باید قیمت آن‌ها کاهش یافته و عملکردشان بهینه شود. این پیل‌ها انرژی شیمیایی یک سوخت را مستقیماً به انرژی الکتریکی تبدیل می‌کنند و در صورت استفاده از هیدروژن خالص محصول تولیدی آن‌ها آب و حرارت است. به طور کلی بازده تبدیل انرژی شیمیایی به الکتریکی توسط پیل‌های سوختی در مقایسه با دیگر دستگاه‌ها و فرایندهای تبدیل انرژی در نقطه طراحی و غیر طراحی بیشتر است. اغلب محققان بر این عقیده‌اند که همان طور که موتورهای احتراق داخلی باعث تحول عظیم در اوایل قرن بیستم شدند، فناوری پیل سوختی نیز می‌تواند در عصر حاضر نقش اساسی در افزایش بازده تبدیل انرژی، کاهش آلودگی‌های زیست محیطی و به تبع آن مسائل اقتصادی داشته باشد [۱].

۳-۱. ساختار پیل سوختی

هر پیل سوختی از چند جزء اصلی تشکیل شده است: صفحات توزیع کننده جریان یا کانال‌های عبور جریان، الکترودها یا لایه‌های نفوذی گاز، لایه کاتالیست یا لایه واکنشی و الکترولیت یا غشاء. به جز غشاء که در ساختمان پیل سوختی در وسط پیل قرار می‌گیرد، سایر اجزاء نام برده هم در طرف کاتد و هم در طرف آند موجود هستند. بنابراین در کل، هفت لایه متفاوت در هر پیل سوختی وجود دارد که در هر کدام پدیده فیزیکی خاصی رخ می‌دهد [۴]. در شکل ۱-۱ اجزاء پیل سوختی نشان داده شده است.



شکل ۱-۱- شماتیکی از اجزای پیل سوختی [۵].

^۱ Uninterruptible power supply

آنده^۱: الکترودی است که الکترون‌ها از آن خارج شده و واکنش اکسایش در آن رخ می‌دهد.

کاتد^۲: الکترودی است که الکترون‌ها به آن وارد شده و واکنش کاهش بر روی آن صورت می‌گیرد. کاتد قطب مثبت پیل سوختی را تشکیل می‌دهد. الکترودها (کاتد و آند) که محل انجام واکنش‌های الکتروشیمیایی هستند توسط یک الکتروولیت از یکدیگر جدا می‌شوند.

صفحات توزیع کننده گاز: وظیفه اصلی صفحات توزیع کننده، فراهم آوردن محیطی برای جریان یافتن سوخت در طرف آند و کاتد است. این کار توسط کانال‌هایی صورت می‌گیرد که از سه طرف بسته و از یک طرف باز می‌باشند و به صورت شیارهایی در داخل صفحات تعییه می‌شوند. طرف باز با متصل شدن به لایه مجاور خود یعنی الکترودها، مرزی را برای انتقال واکنش‌دهنده‌ها و محصولات فراهم می‌کند. هندسه شیارها از قبیل ضخامت، عمق و شکل کanal نقش بسیار مهمی در نحوه توزیع گازها بر روی لایه‌های نفوذی گاز دارد. صفحات توزیع کننده، معمولاً از جنس گرافیت یا استیل ساخته می‌شوند و عمده‌ترین قسمت یک مجموعه پیل سوختی از نظر وزن و قیمت می‌باشند.

لایه نفوذی گاز^۳: عبارت است از یک محیط متخلخل که امکان توزیع یکنواخت گازها روی کاتالیست فراهم می‌کند. ساختار متخلخل این لایه موجب می‌شود گازهای واکنش‌دهنده به خوبی روی سطح الکترودها اسپری شوند و به این ترتیب تماس بیشتری بین گازهای واکنش‌دهنده و لایه کاتالیست به وجود آید. لایه نفوذی گاز از صفحات متخلخل کربنی به ضخامت ۱۰۰ تا ۳۰۰ میکرومتر ساخته می‌شوند. در پیل‌های سوختی عموماً از دو نوع لایه نفوذی گاز که هر دو از الیاف کربن تولید شده‌اند استفاده می‌شود. در یکی الیاف کربن به شیوه‌ای مشابه آنچه در صنعت نساجی استفاده می‌شود به یکدیگر بافته می‌شود که به آن پارچه کربنی گفته می‌شود و در نوع دیگر الیاف کربن به شیوه‌ای مشابه آنچه در تولید کاغذ استفاده می‌شود به هم بافته می‌شود که به آن کاغذ کربنی می‌گویند. در شکل ۲-۱ لایه نفوذی گاز پارچه کربنی و کاغذ کربنی نشان داده شده است.

¹ Anode

² Cathode

³ Gas Diffusion Layer (GDL)